

ФОТОПРОВОДИМОСТЬ ДВУМЕРНОЙ ЭЛЕКТРОННОЙ СИСТЕМЫ СО СПИН-ОРБИТАЛЬНЫМ ВЗАИМОДЕЙСТВИЕМ В ПЕРЕМЕННОМ МАГНИТНОМ ПОЛЕ

И. И. Ляпилин, А. Е. Патраков*

*Институт физики металлов Уральского отделения Российской академии наук
620041, Екатеринбург, Россия*

Изучен отклик неравновесной электронной системы на постоянное измерительное поле в случае, когда исходная неравновесность спиновой подсистемы электронов проводимости, создаваемая переменным магнитным СВЧ-полем, реализует в электронной системе комбинированные резонансные переходы. Показано, что возмущение спиновой подсистемы электронов передается в подсистему кинетических степеней свободы и сказывается на кинетических коэффициентах, приводя к осцилляциям диагональных компонент тензора проводимости.

PACS: 72.15.Gd, 72.20.Mu, 73.23.-b

1. ВВЕДЕНИЕ

Обнаружение осцилляций диагональных компонент тензора электропроводности в классическом интервале изменения напряженности магнитного поля, где осцилляции Шубникова–де Гааза еще не проявляются, в «сверхчистом» образце GaAs/Al_xGa_{1-x}As [1, 2] вызвало повышенный интерес к теоретическим исследованиям явлений переноса в двумерных электронных системах в присутствии микроволнового излучения. Согласно одной из общепринятых моделей [3], обнаруженные осцилляции диагональных компонент тензора проводимости обусловлены поглощением свободными носителями заряда энергии электрической компоненты СВЧ-излучения и переходами электронов между уровнями Ландау.

В тех же гетероструктурах имеет место спин-орбитальное взаимодействие, которое, как известно, само является причиной возникновения многих интересных эффектов в кинетических явлениях. Среди них, например, биения осцилляций Шубникова–де Гааза [4], спиновая аккумуляция [5], магнито-электрический эффект [6] и др. Спин-орбитальное взаимодействие приводит также к возможности переходов электронов проводимости в магнитном поле между уровнями Ландау на

частотах комбинированного резонанса [7], причем такого рода переходы возможны как в пучности электрического, так и магнитного полей [8]. Наконец, спиновые степени свободы лежат в основе работы спиновых устройств, схемы которых были рассмотрены в работе [9]. Все это определило повышенный интерес к исследованию спин-орбитального взаимодействия в полупроводниковых двумерных структурах.

Спин-орбитальное взаимодействие зависит как от трансляционных, так и спиновых степеней свободы и представляет собой канал, по которому может происходить поглощение энергии (как магнитной, так и электрической компоненты) СВЧ-поля. В результате этого становятся возможными резонансные переходы на комбинированных частотах между уровнями Ландау. Представляется интересным исследовать модель, в которой роль спин-орбитального взаимодействия как канала передачи энергии от спиновых степеней свободы к кинетическим должна проявиться наиболее сильно. Такая ситуация имеет место, когда неравновесность спиновой подсистемы электронов проводимости создается переменным магнитным СВЧ-полем, приводящим к комбинированным переходам. В результате и кинетическая подсистема электронов становится неравновесной. Требуется найти отклик такой в принципе сильно неравновесной электронной системы на постоянное измерительное поле: как

*E-mail: Lyapilin@imp.uran.ru

такое возмущение электронной системы скажется на кинетических коэффициентах, в частности, на тензоре проводимости.

Рассмотренная нами модель учитывает квантование Ландау и микроволновое излучение (в длинноволновом пределе) точным образом, без использования теории возмущений. В качестве источников рассеяния рассмотрены немагнитные примеси, рассеяние на которых рассматривается по теории возмущений.

Статья построена следующим образом. Второй раздел посвящен выводу эффективного взаимодействия, которое является ответственным за реализацию в системе комбинированных переходов. В третьем разделе представлены основные положения вычисления неравновесного адмиттанса. Наконец, в последнем разделе представлены результаты вычисления компонент тензора проводимости и численного анализа.

2. ЭФФЕКТИВНЫЙ ГАМИЛЬТониАН

Гамильтониан рассматриваемой системы имеет вид

$$\mathcal{H}(t) = H_k + H_s + H_{ks} + H_{eh}(t) + H_{ef}^0 + H_v + H_{ev}. \quad (1)$$

Здесь H_k , H_s — гамильтонианы кинетической и зеемановской энергий в магнитном поле $\mathbf{H} = (0, 0, H)$:

$$H_k = \sum_i \frac{\mathbf{p}_i^2}{2m} = \sum_i \frac{(\mathbf{P}_i - (e/c)\mathbf{A}(x_i))^2}{2m},$$

$$H_s = \hbar\omega_s \sum_i S_i^z,$$

S_i^α и p_i^α — компоненты оператора спина и кинетического импульса i -го электрона, причем $[p_i^\alpha, p_j^\beta] = \delta_{ij} i m \hbar \omega_c \varepsilon_{\alpha\beta z}$,

$$\omega_s = g|\mu_0|H/\hbar, \quad \omega_c = |e|H/mc,$$

μ_0 — магнетон Бора, H_{ef}^0 — гамильтониан взаимодействия электронов с электрическим полем $\mathbf{E} = (E_x, 0, 0)$:

$$H_{ef} = -e\mathbf{E} \cdot \sum_i \mathbf{r}_i,$$

$H_{eh}(t)$ — взаимодействие электронов с переменным магнитным полем:

$$H_{eh}(t) = g|\mu_0|\mathbf{S} \cdot \mathbf{H}(t),$$

$\mathbf{H}(t) = (H_x(t), H_y(t), H_z(t))$; H_{ev} , H_v — соответственно гамильтониан взаимодействия электронов с решеткой и гамильтониан решетки.

Взаимодействие электронов с переменным электрическим полем не рассматривается, так как оно приводит к результатам, уже известным из работ [3, 10–12]. Кроме того, эффекты, связанные с переменным электрическим полем, можно подавить, поместив образец в пучность магнитного поля (т. е. в узел электрического поля) в волноводе.

Величина $H_{ks}(p)$ — взаимодействие между кинетическими и спиновыми степенями свободы. Поскольку спин-орбитальное взаимодействие является в определенном смысле малым, можно провести зависящее от импульса каноническое преобразование гамильтониана, устраняющее взаимодействие кинетических и спиновых степеней свободы электронов. Естественно, при этом преобразуются и все остальные члены гамильтониана, описывающие взаимодействие электронов с решеткой и внешними полями, если таковые имеются. В этом случае возникает эффективное взаимодействие электронов системы с внешними полями, приводящее к резонансному поглощению энергии поля не только на частотах парамагнитного резонанса ω_s и циклотронного резонанса ω_c , но также и на других частотах, представляющих собой целочисленные линейные комбинации частот ω_s и ω_c — комбинированный резонанс. Калибровочно-инвариантная теория комбинированного резонанса развита в работе [13].

Полагая спин-орбитальное взаимодействие малым, выполним каноническое преобразование гамильтониана. С точностью до линейных по $T(p)$ членов имеем

$$\tilde{\mathcal{H}} = e^{T(p)}\mathcal{H}e^{-T(p)} \approx \mathcal{H} + [T(p), \mathcal{H}]. \quad (2)$$

Оператор канонического преобразования $T(p)$ определим из условия, что в результате преобразования подсистемы k и s будут независимыми. Для выполнения этого требования имеем условие

$$H_{ks}(p) + [T(p), H_k + H_s] = 0. \quad (3)$$

Спин-орбитальное взаимодействие, реализующееся в квантовых ямах, как правило, связано с симметрией квантовой ямы. В квантовых ямах на основе GaAs это взаимодействия Рашбы и Дрессельхауза [14], которые имеют один порядок величины, в то время как в структурах на основе узкощелевых полупроводников (InAs) вклад взаимодействия Рашбы является доминирующим. В дальнейшем мы конкретизируем вид спин-орбитального взаимодей-

ствия H_{ks} , полагая, что это взаимодействие Рашбы [14]:

$$\begin{aligned} H_{ks}(p) &= \alpha \varepsilon_{zik} \sum_j S_j^i p_j^k = \\ &= \frac{i\alpha}{2} \sum_j (S_j^+ p_j^- - S_j^- p_j^+), \quad (4) \\ S^\pm &= S^x \pm iS^y, \quad p^\pm = p^x \pm ip^y. \end{aligned}$$

Здесь α — константа спин-орбитального взаимодействия.

Найдем явный вид оператора $T(p)$. Подставляя оператор (4) в общее решение уравнения (3) и вычисляя интеграл, находим

$$\begin{aligned} T(p) &= \frac{i}{\hbar} \int_{-\infty}^0 dt \exp(\varepsilon t) \exp \frac{iH_0 t}{\hbar} \times \\ &\times H_{ks}(p) \exp \left(-\frac{iH_0 t}{\hbar} \right) = \frac{i\alpha}{2\hbar(\omega_c - \omega_s)} \times \\ &\times \sum_j (S_j^+ p_j^- - S_j^- p_j^+). \quad (5) \end{aligned}$$

Заметим, что удобство такого представления оператора $T(p)$ состоит в том, что коммутаторы в формуле (2) и уравнениях движения можно вычислять в общем виде, не переходя к матричным элементам, структура которых зависит от конкретного выбора волновых функций. Критерий применимости теории состоит в том, что для характерных значений электронного импульса \vec{p} должно выполняться неравенство $\alpha \vec{p} \ll \hbar(\omega_c - \omega_s)$.

Канонически преобразованный гамильтониан системы запишем в виде

$$\begin{aligned} \tilde{H}(t) &= H_0 + H_{ef}^0 + H_{eh}(t) + \\ &+ [T(p), H_{eh}(t) + H_{ef}^0 + H_{ev}], \quad (6) \\ H_0 &= H_k + H_s + H_v + H_{ev}. \end{aligned}$$

Используя явный вид оператора $T(p)$, находим

$$\begin{aligned} g\mu_0 [T(p), S^\alpha] H^\alpha(t) &= \frac{ig\alpha\mu_0}{2\hbar(\omega_c - \omega_s)} \times \\ &\times \{T^{z-} H^+(t) - T^{z+} H^-(t) + \\ &+ (T^{-+} - T^{+-}) H^z(t)\}, \quad T^{\alpha k} = \sum_i S_i^\alpha p_i^k. \quad (7) \end{aligned}$$

Взаимодействие спиновых степеней свободы электронов проводимости с переменным магнитным полем $H_{eh}(t)$ приводит к резонансным переходам на частоте ω_s . В то же время, как видно из приведенных выше формул, эффективное взаимодействие

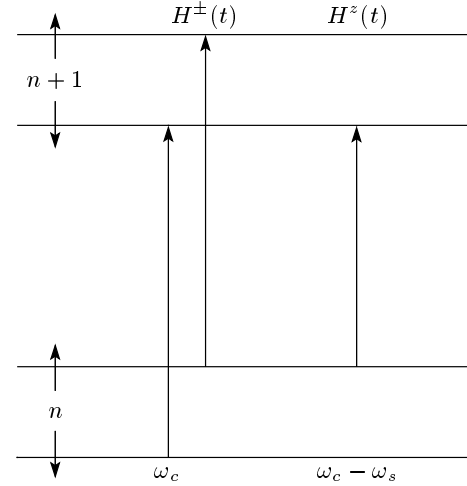


Рис. 1. Комбинированные переходы, возможные в двумерной системе Рашбы при воздействии переменного магнитного поля

$[T(p), H_{eh}(t)]$ приводит к комбинированным переходам на частотах $\omega_c \pm \omega_s$ и циклотронной частоте ω_c , в которых участвуют как кинетические, так и спиновые степени свободы. В дальнейшем нас будет интересовать отклик неравновесной системы на измерительное электрическое поле, в котором определяющим является вклад, обусловленный кинетическими степенями свободы, поэтому при рассмотрении мы ограничимся учетом только эффективного взаимодействия. Переходы, вызываемые эффективным взаимодействием, схематически изображены на рис. 1. Кроме того, в данной работе мы ограничимся рассмотрением случая, когда переменное магнитное поле $\mathbf{H}(t) = (H_x(t), H_y(t), 0)$ ортогонально постоянному магнитному полю. В этом случае эффективное взаимодействие, ответственное за комбинированные переходы, имеет вид

$$\begin{aligned} H_{eh,1}(t) &= [T(p), H_{eh}(t)] = \\ &= \frac{i\alpha\omega_{1s}}{2\hbar(\omega_c - \omega_s)} \sum_j S_j^z (p_j^+ e^{-i\omega t} - p_j^- e^{i\omega t}), \quad (8) \end{aligned}$$

$$\omega_{1s} = g|e|H_1/2m_0c,$$

где H_1 — напряженность переменного циркулярно поляризованного магнитного поля, меняющегося с частотой ω .

3. НЕРАВНОВЕСНЫЙ ОТКЛИК

Будем считать, что исходная неравновесность системы создана вследствие поглощения СВЧ-излучения и может быть описана распределением $\bar{\rho}(t)$.

Если на рассматриваемую систему действует дополнительное возмущение (например, слабое измерительное поле), то в системе будет сформировано новое неравновесное состояние, для описания которого необходим расширенный набор базисных операторов. Новое неравновесное распределение определим неравновесным статистическим оператором $\rho(t, 0)$. Задача заключается в нахождении отклика неравновесной системы на слабое измерительное поле.

Оператор $\rho(t)$ запишем, пользуясь интегральным уравнением для неравновесного статистического оператора [15]. В линейном приближении по внешнему полю \mathbf{E} имеем

$$\begin{aligned} \rho(t) &= \bar{\rho}(t) - \int_{-\infty}^0 dt_1 e^{\varepsilon t_1} U(t+t_1) \times \\ &\times iL_{ef}^0 \rho(t+t_1) U^+(t+t_1), \\ iL_{ef}^0 A &= \frac{1}{i\hbar} [A, H_{ef}^0], \end{aligned} \quad (9)$$

где $U(t)$ — оператор эволюции, представляющий собой упорядоченную экспоненту. Оператор $\bar{\rho}(t)$ может быть записан в виде

$$\begin{aligned} \bar{\rho}(t) &= \rho_q(t) - \int_{-\infty}^0 dt_1 e^{\varepsilon t_1} U(t+t_1) \times \\ &\times \left\{ \frac{\partial}{\partial t} + iL(t) \right\} \rho_q(t+t_1) U^+(t+t_1). \end{aligned} \quad (10)$$

Что касается квазиравновесного статистического оператора $\rho_q(t)$, то его можно представить в виде

$$\rho_q(t) = e^{-S(t)}, \quad S(t) = \Phi(t) + \sum_n P_n^+ F_n(t), \quad (11)$$

где $S(t)$ — оператор энтропии, Φ — функционал Ма-сье–Планка, $P_n, F_n(t)$ — набор базисных операторов и сопряженных функций, описывающих неравновесную систему.

Описывая состояние системы средними значениями операторов $H_k, \mathbf{p}, H_s, N, H_v$, (N — оператор числа электронов), для оператора энтропии системы получаем

$$\begin{aligned} S(t) &= \Phi(t) + \beta_k (H_k - \mathbf{V}(t) \mathbf{p} - \mu' N) + \\ &+ \beta_s H_s + \beta H_v = S^0 + \Delta S(t), \\ \Delta S(t) &= -\beta_k \mathbf{V}(t) \mathbf{p}. \end{aligned} \quad (12)$$

Соответственно, имеем

$$\rho_q(t) = \rho^0 + \delta\rho(t), \quad \rho^0 = e^{-S^0}. \quad (13)$$

Здесь $\beta_k, \beta_s, \mu' = \mu - mV^2/2$, \mathbf{V}, β — параметры, термодинамически сопряженные средним значениям введенных операторов, которые имеют смысл обратных эффективных температур подсистем кинетических и спиновых степеней свободы электронов, химического потенциала, дрейфовой скорости и обратной равновесной температуры решетки. Введение эффективных температур для подсистем позволяет рассматривать эффекты «разогрева» электронной и спиновой подсистем электронов внешними полями.

Линейный адмиттанс, соответствующий произвольному оператору B в случае внешней гармонической силы с частотой ω_1 , можно представить в виде

$$\begin{aligned} \chi_{BA}(t, \omega_1) &= - \int_{-\infty}^0 dt_1 e^{(\varepsilon - i\omega_1)t_1} \times \\ &\times \frac{1}{i\hbar} \text{Sp}\{B e^{it_1 L} [A, \bar{\rho}(t+t_1, 0)]\}. \end{aligned} \quad (14)$$

В рамках данного рассмотрения задача вычисления адмиттанса может быть сведена к нахождению транспортной матрицы $T_{BA}(t, \omega_1)$, которая в неравновесном случае играет такую же роль, как и в случае отклика равновесной системы:

$$\chi_{BA}(t, \omega_1) = \chi_{BA}(t, 0) \frac{T_{BA}(t, \omega_1) + \varepsilon}{T_{BA}(t, \omega_1) + \varepsilon - i\omega_1}, \quad (15)$$

$$\chi_{BA}(t, 0) = \langle B, A \rangle, \quad T_{BA} = \frac{1}{\langle B, A \rangle^{\omega_1}} \langle B, \dot{A} \rangle^{\omega_1}. \quad (16)$$

Здесь

$$\begin{aligned} \langle B, A \rangle &= \\ &= -\frac{1}{i\hbar} \int_{-\infty}^0 dt_1 e^{\varepsilon t_1} \text{Sp}\{B e^{it_1 L} [A, \bar{\rho}(t+t_1, 0)]\}, \end{aligned} \quad (17)$$

$$\begin{aligned} \langle B, A \rangle^{\omega_1} &= -\frac{1}{i\hbar} \int_{-\infty}^0 dt_1 e^{(\varepsilon - i\omega_1)t_1} \int_{-\infty}^0 dt_2 e^{\varepsilon t_2} \times \\ &\times \text{Sp}\{B e^{i(t_1+t_2)L} [A, \bar{\rho}(t+t_1+t_2, 0)]\}. \end{aligned} \quad (18)$$

Реальная часть транспортной матрицы определяет частоту релаксации импульса неравновесных электронов.

Из приведенных выше формул видно, что явная зависимость эффективного взаимодействия $H_{eh,1}(t)$ от времени приводит к определенным трудностям

при вычислении неравновесного отклика электронной системы на измерительное электрическое поле. Целесообразно провести еще одно каноническое преобразование (Приложение А), устраняющее взаимодействие $H_{eh,1}(t)$ и перенормирующее гамильтониан электрон-примесного взаимодействия (Приложение В), который при этом приобретает временную зависимость. В канонически преобразованной системе примеси действуют как когерентное осциллирующее поле, приводящее к резонансным переходам.

4. ОБРАТНОЕ ВРЕМЯ РЕЛАКСАЦИИ ИМПУЛЬСА

Считая температуры кинетической и спиновой подсистем одинаковыми, в борновском приближении по взаимодействию электронов с рассеивателями для частоты релаксации получаем:

$$\begin{aligned} \frac{1}{\tau} = & \frac{\beta}{2mn} \operatorname{Re} \frac{1}{i\hbar} \int_{-\infty}^0 dt_1 \exp\{(\varepsilon - \omega_1)t_1\} \times \\ & \times \int_{-\infty}^0 dt_2 \exp(\varepsilon t_2) \int_0^1 d\lambda \times \\ & \times \operatorname{Sp} \left\{ \dot{p}_{(\bar{v})}^+(t) \exp\{iL_0(t_1 + t_2)\} \rho^{0\lambda} \times \right. \\ & \left. \times [\dot{p}_{(\bar{v})}^-(t + t_1 + t_2), H_k + H_s] \rho^{0-\lambda} \rho^0 \right\}. \quad (19) \end{aligned}$$

Раскроем выражение (19), используя явный вид перенормированного взаимодействия электронов с примесями \tilde{H}_{ev} , который приведен в Приложении В. Введем обозначение

$$\begin{aligned} A(\lambda, t_1 + t_2) = & \operatorname{Sp} \left\{ \dot{p}_{(\bar{v})}^+(t) \exp\{iL_0(t_1 + t_2)\} \times \right. \\ & \left. \times \rho^{0-\lambda} [\dot{p}_{(\bar{v})}^-(t + t_1 + t_2), H_k + H_s] \rho^{0-\lambda} \rho^0 \right\}. \quad (20) \end{aligned}$$

Подставляя явный вид электрон-примесного взаимодействия и проводя усреднение по системе рассеивателей, получаем:

$$\begin{aligned} A(\lambda, t_1 + t_2) = & \\ = & \sum_{\mathbf{q}jj'l} |V(\mathbf{q})|^2 N_i \exp\{-i\omega(t_1 + t_2)\} J_l^2(|K_q|) q^2 \times \\ & \times \operatorname{Sp} \{ 2S_j^z \exp(i\mathbf{q} \cdot \mathbf{r}_j) \exp\{iL_0(t_1 + t_2)\} \times \\ & \times \rho^{0-\lambda} [2S_{j'}^z \exp(-i\mathbf{q} \cdot \mathbf{r}_{j'}), H_k + H_s] \rho^{0-\lambda} \rho^0 \}. \quad (21) \end{aligned}$$

Переходя к представлению вторичного квантования

и проводя усреднение ферми-операторов по теореме Вика, имеем

$$\begin{aligned} A(\lambda, t_1 + t_2) = & \sum_{\mathbf{q}\nu\mu l} |V(\mathbf{q})|^2 N_i \exp\{-i\omega(t_1 + t_2)\} \times \\ & \times \exp \left\{ -\frac{i}{\hbar} (t_1 + t_2) (\varepsilon_\mu - \varepsilon_{\mu'}) \right\} \exp\{-\beta_e (\varepsilon_\mu - \varepsilon_{\mu'}) \lambda\} \times \\ & \times J_l^2(|K_q|) q^2 (\varepsilon_\nu - \varepsilon_\mu) \times \\ & \times |(2S^z \exp(i\mathbf{q} \cdot \mathbf{r}))_{\nu\mu}|^2 f_\nu (1 - f_\mu), \quad (22) \end{aligned}$$

где f — распределение Ферми–Дирака.

Выполняя последовательно вычисление интегралов по λ , t_1 и t_2 , получаем

$$\begin{aligned} & \int_{-\infty}^0 dt_1 \exp\{(\varepsilon - i\omega_1)t_1\} \times \\ & \times \int_{-\infty}^0 dt_2 \exp(\varepsilon t_2) \int_0^1 d\lambda A(\lambda, t_1 + t_2) = \\ & = \sum_{\mathbf{q}\nu\mu l} |V(\mathbf{q})|^2 N_i J_l^2(|K_q|) q^2 \times \\ & \times |(2S^z \exp(i\mathbf{q} \cdot \mathbf{r}))_{\nu\mu}|^2 (f_\nu - f_\mu) \times \\ & \times \frac{1}{\varepsilon - i\omega - (i/\hbar)(\varepsilon_\mu - \varepsilon_\nu)} \times \\ & \times \frac{1}{\varepsilon - i\omega_1 - i\omega - (i/\hbar)(\varepsilon_\mu - \varepsilon_\nu)}. \quad (23) \end{aligned}$$

В пределе $\varepsilon \rightarrow 0$ имеем

$$\begin{aligned} & \frac{1}{\varepsilon - i\omega - (i/\hbar)(\varepsilon_\mu - \varepsilon_\nu)} = \\ = & i\hbar \left(\mathcal{P} \frac{1}{l\hbar\omega + \varepsilon_\mu - \varepsilon_\nu} - i\pi\delta(l\hbar\omega + \varepsilon_\mu - \varepsilon_\nu) \right), \quad (24) \end{aligned}$$

где \mathcal{P} обозначает взятие главного значения. Переходя, наконец, к пределу $\omega_1 \rightarrow 0$, поскольку нас интересует отклик на нулевой частоте, получаем

$$\begin{aligned} \Delta \frac{1}{\tau} = & -\frac{\pi\hbar}{2mn} \sum_{\mathbf{q}\nu\mu l} \int d\mathcal{E} |V(\mathbf{q})|^2 N_i J_l^2(|K_q|) q^2 \times \\ & \times |(2S^z \exp(i\mathbf{q} \cdot \mathbf{r}))_{\nu\mu}|^2 (f(\mathcal{E} + l\hbar\omega) - f(\mathcal{E})) \delta(\mathcal{E} - \varepsilon_\mu) \times \\ & \times \frac{\partial}{\partial \mathcal{E}} \delta(l\hbar\omega + \mathcal{E} - \varepsilon_\nu). \quad (25) \end{aligned}$$

Сингулярность в правой части (25) устраняется, как обычно, путем уширения уровней Ландау за счет рассеяния электронов на примесях:

$$\delta(\mathcal{E} - \varepsilon_\mu) \rightarrow D_\mu(\mathcal{E}) = \frac{\sqrt{\pi/2}}{\Gamma} \exp\left(-\frac{\mathcal{E} - \varepsilon_\mu}{2\Gamma^2}\right), \quad (26)$$

где ширина Γ уровня Ландау выражается через подвижность μ электронов:

$$\Gamma = \hbar \sqrt{\frac{2\gamma_n \omega_c}{\pi \tau_{tr}}}, \quad \tau_{tr} = \frac{m\mu}{|e|}. \quad (27)$$

Величина $\gamma_n \sim 1$ определяет отличие транспортно-го времени релаксации от одночастичного времени жизни электрона на n -м уровне Ландау.

При $T > \Gamma$ интеграл по энергии равен

$$\begin{aligned} \int d\mathcal{E} \frac{\partial}{\partial \mathcal{E}} D_\nu(\mathcal{E} \pm \hbar\omega) D_\mu(\mathcal{E}) = \\ = -\frac{\pi^{3/2}(\varepsilon_\mu - \varepsilon_\nu \pm \hbar\omega)}{4\Gamma^3} \times \\ \times \exp\left(-\frac{(\varepsilon_\mu - \varepsilon_\nu \pm \hbar\omega)^2}{4\Gamma^2}\right). \end{aligned} \quad (28)$$

Волновые функции, для которых вычисляются матричные элементы в формуле (25), имеют вид

$$\begin{aligned} \psi_{nk^x S^z} = \frac{1}{\sqrt{2^n n! \pi^{1/2} \ell}} \exp(ik^x x) \times \\ \times \exp\left(-\frac{(y-y_0)^2}{2\ell^2}\right) H_n\left(\frac{y-y_0}{\ell}\right) \chi_{S^z}. \end{aligned} \quad (29)$$

Здесь $y_0 = \ell^2 k^x$ — координата центра циклотронной орбиты, χ_{S^z} — собственная функция оператора z -проекции спина. Вычисляя матричный элемент, входящий в (25), получаем

$$\begin{aligned} |\langle n_\nu k_\nu^x S_\nu^z | 2S^z \exp(i\mathbf{q}\cdot\mathbf{r}) | n_\mu k_\mu^x S_\mu^z \rangle|^2 = \exp\left(-\frac{\ell^2 q^2}{2}\right) \times \\ \times \frac{(\min(n_\nu, n_\mu))!}{(\max(n_\nu, n_\mu))!} \left(\frac{\ell^2 q^2}{2}\right)^{|n_\nu - n_\mu|} \times \\ \times \left(L_{\min(n_\nu, n_\mu)}^{|n_\nu - n_\mu|} \left(\frac{\ell^2 q^2}{2}\right)\right)^2 \delta_{S_\nu^z, S_\mu^z} \delta_{k_\nu^x, q_x + k_\mu^x}. \end{aligned} \quad (30)$$

В случае слабого переменного электрического поля можно не учитывать слагаемые с $|l| > 1$ и воспользоваться приближением $J_{\pm 1}(x) = \pm x/2$. В результате этих упрощений имеем

$$\begin{aligned} \Delta \frac{1}{\tau} = \frac{\hbar}{8mn\ell^2} \sum_{q, n_\nu, n_\mu, l=\pm 1} |V(\mathbf{q})|^2 N_i |K_q|^2 q^2 \times \\ \times \exp\left(-\frac{\ell^2 q^2}{2}\right) \frac{(\min(n_\nu, n_\mu))!}{(\max(n_\nu, n_\mu))!} \left(\frac{\ell^2 q^2}{2}\right)^{|n_\nu - n_\mu|} \times \\ \times \left(L_{\min(n_\nu, n_\mu)}^{|n_\nu - n_\mu|} \left(\frac{\ell^2 q^2}{2}\right)\right)^2 (f(\varepsilon_\nu) - f(\varepsilon_\mu)) \times \\ \times \frac{\pi^{3/2}(\varepsilon_\mu - \varepsilon_\nu + l\hbar\omega)}{4\Gamma^3} \times \\ \times \exp\left(-\frac{(\varepsilon_\mu - \varepsilon_\nu + l\hbar\omega)^2}{4\Gamma^2}\right). \end{aligned} \quad (31)$$

Выполняя интегрирование по \mathbf{q} , получаем:

$$\begin{aligned} \int_0^\infty d(q^2) q^4 \exp\left(-\frac{\ell^2 q^2}{2}\right) \left(-\frac{\ell^2 q^2}{2}\right)^{|n_\nu - n_\mu|} \times \\ \times \left(L_{\min(n_\nu, n_\mu)}^{|n_\nu - n_\mu|} \left(\frac{\ell^2 q^2}{2}\right)\right)^2 = \\ = \frac{8}{\ell^6} \frac{(\max(n_\nu, n_\mu))!}{(\min(n_\nu, n_\mu))!} \times \\ \times (n_\nu^2 + n_\mu^2 + 3(n_\nu + n_\mu) + 4n_\nu n_\mu + 2). \end{aligned} \quad (32)$$

Таким образом, для случая точечных примесей, когда $V(q)$ не зависит от q , поправка к обратному времени релаксации имеет вид

$$\begin{aligned} \Delta \frac{1}{\tau} = \frac{\hbar}{4mn\ell^8} \sum_{n_\nu, n_\mu, l=\pm 1} \frac{|V(\mathbf{q})|^2 N_i \alpha^2 \omega_{1s}^2}{(\omega_c - \omega_s)^2 (\omega - \omega_c)^2} \times \\ \times (n_\nu^2 + n_\mu^2 + 3(n_\nu + n_\mu) + 4n_\nu n_\mu + 2) \times \\ \times (f(\varepsilon_\nu) - f(\varepsilon_\mu)) \frac{\pi^{1/2}(\varepsilon_\mu - \varepsilon_\nu + l\hbar\omega)}{\Gamma^3} \times \\ \times \exp\left(-\frac{(\varepsilon_\mu - \varepsilon_\nu + l\hbar\omega)^2}{4\Gamma^2}\right). \end{aligned} \quad (33)$$

Используя выражение для частоты релаксации импульса, можно записать и выражение для диагональных компонент тензора электропроводности σ_{xx} , численные расчеты которого приведены в следующем разделе:

$$\sigma_{xx} = \frac{ne^2}{m} \frac{\tau^{-1}}{\omega_c^2 + \tau^{-2}}. \quad (34)$$

5. ЧИСЛЕННЫЙ АНАЛИЗ

Численные расчеты диагональных компонент тензора проводимости выражения (34) были выполнены при следующих параметрах: $m = 0.067m_0$ (m_0 — масса свободного электрона), энергия Ферми $\mathcal{E}_F = 10$ мэВ, подвижность двумерных электронов $\mu \approx 0.1-1.0 \cdot 10^7$ см²/В·с, концентрация электронов $n = 3 \cdot 10^{11}$ см⁻². Частота СВЧ-излучения $f = 50-150$ ГГц, температура $T \approx 2.4$ К. Магнитное поле варьировалось в пределах $0.02T-0.3T$.

Зависимости фотопроводимости двумерного электронного газа от индукции магнитного поля B при различных значениях подвижности электронов при частоте излучения 50 ГГц приведена на рис. 2. На рис. 3 представлена зависимость фотопроводимости двумерного электронного газа от

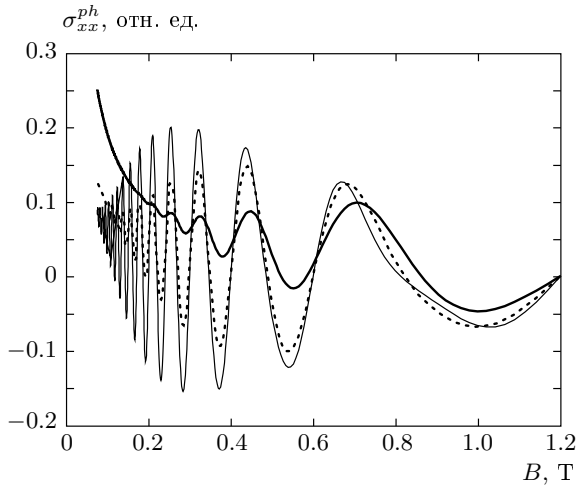


Рис. 2. Зависимости фотопроводимости двумерного электронного газа для различных значений подвижности электронов от напряженности магнитного поля при частоте излучения $f = 50$ ГГц, $\gamma = 2$, $\varepsilon_F = 10$ мэВ; $\mu = 0.3$ (жирная линия), 0.6 (штриховая), 0.9 (тонкая) $\cdot 10^7$ см²/В·с

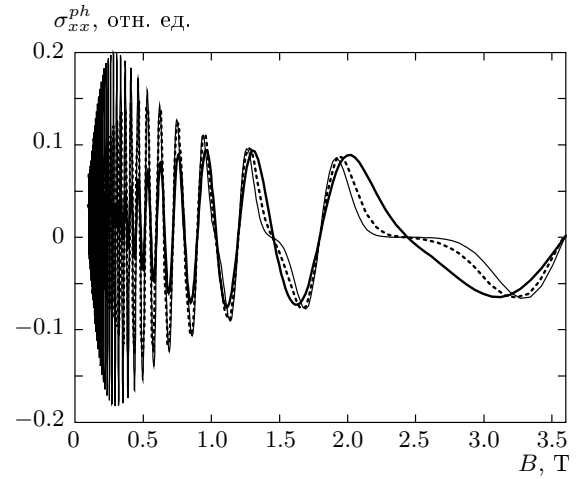


Рис. 4. Зависимости фотопроводимости двумерного электронного газа для различных значений подвижности электронов от напряженности магнитного поля при частоте излучения $f = 150$ ГГц, $\gamma = 2$, $\varepsilon_F = 10$ мэВ; $\mu = 0.3$ (жирная линия), 0.6 (штриховая), 0.9 (тонкая) $\cdot 10^7$ см²/В·с

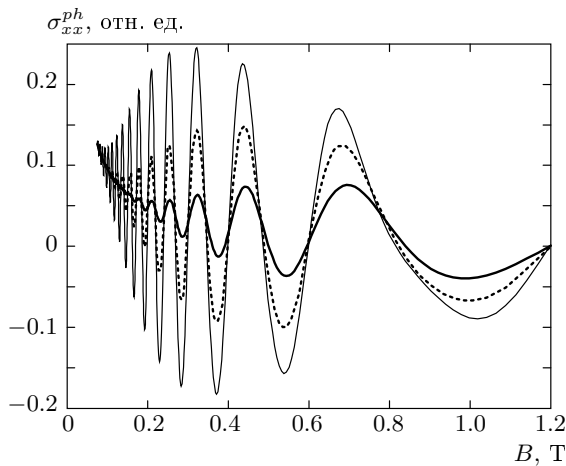


Рис. 3. Зависимости фотопроводимости двумерного электронного газа от напряженности магнитного поля при подвижности $\mu = 0.6 \cdot 10^7$ см²/В·с для различных значений ширины уровня Ландау γ при частоте излучения $f = 50$ ГГц, $\varepsilon_F = 10$ мэВ; $\gamma_n = 3.0$ (жирная линия), 2.0 (штриховая), 1.5 (тонкая)

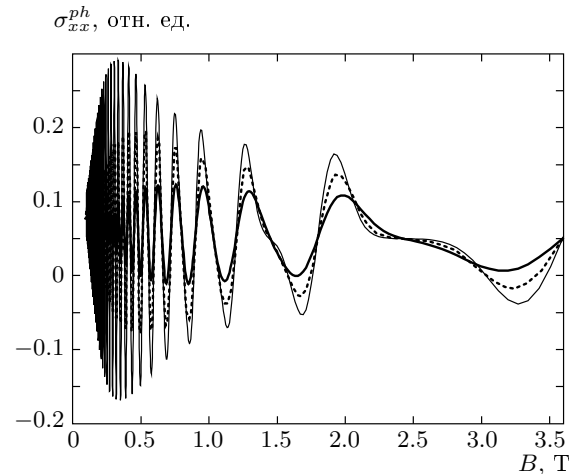


Рис. 5. Зависимости фотопроводимости двумерного электронного газа от напряженности магнитного поля при подвижности $\mu = 0.6 \cdot 10^7$ см²/В·с для различных значений ширины уровня Ландау γ при частоте излучения $f = 150$ ГГц, $\varepsilon_F = 10$ мэВ; $\gamma_n = 3.0$ (жирная линия), 2.0 (штриховая), 1.5 (тонкая)

магнитного поля при различных значениях величины Γ при частоте излучения 50 ГГц и подвижности $\mu = 0.6 \cdot 10^7$ см²/В·с. Аналогичные зависимости для частоты излучения 150 ГГц приведены на рис. 4 и 5.

Как видно из численного анализа, зависимость

подвижности электронов от магнитного поля носит осциллирующий характер. В области слабых магнитных полей амплитуда осцилляций очень чувствительна к ширине уровня Ландау и заметно убывает с уменьшением подвижности электронов.

6. ВЫВОДЫ

Изучен отклик неравновесной электронной системы на постоянное измерительное поле в случае, когда исходная неравновесность спиновой подсистемы электронов проводимости (спиновых степеней свободы), создаваемая переменным магнитным СВЧ-полем, реализует в электронной системе комбинированные резонансные переходы. Показано, что такое возмущение спиновой подсистемы электронов проводимости через спин-орбитальное взаимодействие передается в подсистему кинетических степеней свободы и сказывается на кинетических коэффициентах, приводя к осцилляциям диагональных компонент тензора проводимости. Рассмотренный эффект по своей природе аналогичен эффекту, наблюдаемому в гетероструктурах GaAs/AlGaAs с высокой подвижностью электронов [2]. Но в отличие от последнего, проявление осцилляционной картины в изученном нами случае существенным образом обусловлено спин-орбитальным взаимодействием, имеющим место в данных кристаллах.

Работа выполнена при поддержке Фонда содействия отечественной науке.

ПРИЛОЖЕНИЕ А

Построим каноническое преобразование $W_2(t)$, исключаящее из эффективного гамильтониана перенормированное взаимодействие с переменным магнитным полем. Оператор канонического преобразования будем искать, исходя из уравнения

$$iW_2^\dagger(t) \left(-i\hbar \frac{\partial}{\partial t} + H_k + H_s + H_{eh,1}(t) \right) W_2(t) = -i\hbar \frac{\partial}{\partial t} + H_k + H_s. \quad (35)$$

Функцию $W_2(t)$ будем искать в виде

$$W_2(t) = \exp\{i\theta(t)\} \times \exp \left\{ i \sum_j (\eta^-(t) p_j^+ S_j^z + \eta^+(t) p_j^- S_j^z) \right\}, \quad (36)$$

где параметры $\theta(t)$, $\eta^\pm(t)$ подлежат определению.

Для нахождения этих параметров подействуем

каноническим преобразованием на все члены в левой части уравнения (35):

$$W_2^\dagger(t) \left(-i\hbar \frac{\partial}{\partial t} \right) W_2(t) = -i\hbar \frac{\partial}{\partial t} + \hbar \dot{\theta}(t) + \hbar \sum_j (\eta^-(t) p_j^+ + \eta^+(t) p_j^-), \quad (37)$$

$$W_2^\dagger(t) H_k W_2(t) = \frac{1}{4m} \sum_j (p_j^+ p_j^- - 4im\hbar\omega_c \eta^+(t) \times S_j^z p_j^- + 4im\hbar\omega_c \eta^-(t) S_j^z p_j^+ + m^2 \hbar^2 \omega_c^2 \eta^+(t) \eta^-(t)), \quad (38)$$

$$W_2^\dagger(t) H_s W_2(t) = H_s, \quad (39)$$

$$W_2^\dagger(t) H_{eh,1}(t) W_2(t) = \frac{i\alpha\omega_{1s}}{2(\omega_c - \omega_s)} \times \sum_j S_j^z ((p_j^+ - 2im\hbar\omega_c \eta^+(t) S_j^z) e^{-i\omega t} - (p_j^- + 2im\hbar\omega_c \eta^-(t) S_j^z) e^{i\omega t}). \quad (40)$$

Очевидно, что равенство (35) будет выполняться тождественно, если имеют место соотношения

$$\hbar \dot{\eta}^\pm(t) \mp i\hbar\omega_c \eta^\pm(t) \mp \frac{i\alpha\omega_{1s}}{2(\omega_c - \omega_s)} e^{\pm i\omega t} = 0, \quad (41)$$

$$\hbar \dot{\theta}(t) + \frac{Nm\hbar^2\omega_c^2}{4} \eta^+(t) \eta^-(t) + \frac{N\alpha\omega_{1s}m\hbar\omega_c}{4(\omega_c - \omega_s)} (\eta^+(t) e^{-i\omega t} + \eta^-(t) e^{i\omega t}) = 0. \quad (42)$$

Отсюда получаем явные выражения для $\eta^\pm(t)$, $\theta(t)$:

$$\eta^\pm(t) = \frac{\alpha\omega_{1s}}{2\hbar(\omega_c - \omega_s)(\omega - \omega_c)} e^{\pm i\omega t}, \quad (43)$$

$$\theta(t) = \frac{Nm\alpha^2\omega_{1s}^2(3\omega_c - 4\omega)t}{16\hbar(\omega_c - \omega_s)^2(\omega - \omega_c)^2}. \quad (44)$$

Таким образом, явный вид канонического преобразования $W_2(t)$ известен. Физический смысл данного преобразования состоит в переходе в неравномерно поступательно движущиеся системы координат, различные для электронов с противоположной ориентацией спина.

ПРИЛОЖЕНИЕ В

В результате канонического преобразования $W_2(t)$ происходит перенормировка взаимодействия электронов с примесями. В случае упругого рассеяния для нахождения перенормированного гамильтониана электрон-примесного взаимодействия достаточно вычислить выражение $W_2^\dagger(t) \exp(i\mathbf{q} \cdot \mathbf{r}_j) W_2(t)$. Используя явный вид оператора $W_2^\dagger(t)$, получаем

$$W_2^\dagger(t) \exp(i\mathbf{q} \cdot \mathbf{r}_j) W_2(t) = \exp\{i\mathbf{q} \cdot (\mathbf{r}_j + \Delta\mathbf{r}_j)\}, \quad (45)$$

где

$$\Delta\mathbf{r}_j = -\frac{\alpha\omega_{1s}}{(\omega_c - \omega_s)(\omega - \omega_c)} S_j^z \cdot (\cos\omega t, \sin\omega t, 0). \quad (46)$$

Пользуясь разложением экспоненты по функциям Бесселя, имеем

$$\begin{aligned} & \exp\{-i \operatorname{Re}(2K_q S_j^z e^{i\omega t})\} = \\ & = \sum_{l=-\infty}^{\infty} \left(2S_j^z \frac{K_q}{i|K_q|} \exp(i\omega t) \right)^l J_l(|K_q|), \end{aligned} \quad (47)$$

$$K_q = \frac{\alpha\omega_{1s}(q_x - iq_y)}{(\omega_c - \omega_s)(\omega - \omega_c)}.$$

Таким образом, перенормированный гамильтониан электрон-примесного взаимодействия имеет вид

$$\begin{aligned} \tilde{H}_{ev}(t) &= \sum_{\mathbf{q}j} \sum_{l=-\infty}^{\infty} V(\mathbf{q}) \rho(\mathbf{q}) \times \\ & \times \exp(i\mathbf{q} \cdot \mathbf{r}_j) \left(2S_j^z \frac{K_q}{i|K_q|} \exp(i\omega t) \right)^l J_l(|K_q|). \end{aligned} \quad (48)$$

Для скорости изменения импульса электронов за счет перенормированного взаимодействия с примесями получаем

$$\begin{aligned} \dot{p}_{(v)}^\pm &= -i \sum_{\mathbf{q}j} \sum_{l=-\infty}^{\infty} q^\pm V(\mathbf{q}) \rho(\mathbf{q}) \times \\ & \times \exp(i\mathbf{q} \cdot \mathbf{r}_j) \left(2S_j^z \frac{K_q}{i|K_q|} \exp(i\omega t) \right)^l J_l(|K_q|). \end{aligned} \quad (49)$$

ЛИТЕРАТУРА

1. M. A. Zudov, R. R. Du, L. N. Pfeiffer, and K. W. West, E-print archives, cond-mat/0210034; Phys. Rev. Lett. **90**, 046807 (2003); EP2S-15, Nara, Japan (2003).
2. R. G. Mani, J. H. Smet, K. von Klitzing, V. Narayanamurti, W. B. Johnson, and V. Umansky, Nature **420**, 646 (2002); E-print archives, cond-mat/0306388; 26 Int. Conf. Phys. of Semicond., Edinburg (2002); EP2S-15, Nara, Japan (2003).
3. Adam C. Durst, Subir Sachdev, N. Read, and S. M. Girvin, Phys. Rev. Lett. **91**, 086803 (2003).
4. B. Das, D. C. Miller, S. Datta, R. Reifenberger, W. P. Hong, P. K. Bhattacharya, and M. Jaffe, Phys. Rev. B **39**, 1411 (1989).
5. P. R. Hammar and M. Johnson, Phys. Rev. B **61**, 7207 (2000).
6. Л. С. Левитов, Ю. В. Назаров, Г. М. Элиашберг, ЖЭТФ **88**, 229 (1985).
7. Э. И. Рашба, УФН **84**, 557 (1964).
8. В. П. Калашников, И. И. Ляпилин, ТМФ **18**, 273 (1974).
9. I. Zutic, J. Fabian, and S. Das Sarma, Rev. Mod. Phys. **76**, 323 (2004).
10. V. Ryzhii and V. Vyurkov, Phys. Rev. B **68**, 165406 (2003).
11. A. V. Andreev, I. L. Aleiner, and A. J. Millis, Phys. Rev. Lett. **91**, 056803 (2003).
12. F. S. Bergeret, B. Huckestein, and A. F. Volkov, Phys. Rev. B **67**, 241303 (2003).
13. В. П. Калашников, ТМФ **5**, 293 (1970).
14. E. Rashba, Physica E **20**, 189 (2004).
15. В. П. Калашников, ТМФ **9**, 94 (1971).